

京都大学工学部 正員 長尾義三
学生員 ○則武通彦

1. はじめに

生産地点から消費地点に至る輸送対象の輸送過程が、多数のリンクかよりノードの結合として説明されることが多い。このような多重リンク系の輸送動態は、1つのリンクの運動解析の解の総和として把握することができず、一般にはシミュレーションによって解くほかはないが、ノードの容量もしくは分割リンク系の結合因子を適当に選ぶことによって単一リンクもしくはエリックの結合系として近似的に解くことができる。単一リンク系は従来待ち合せ問題として理論解も容易であるが、本考察ではエリック系で実際によく生じるケースについて、拡張した待ち合せ理論による理論解とシミュレーション解析を行ない、両者の結果を比較することによりそれらの差異と適用限界を明らかにした。さらにこれらの解析結果にもとづき、適当な評価関数を設定することにより多重リンク系の輸送基盤施設設計を含目的的に行なえることを海上コンテナふ頭について例示した。

2. エリック輸送系の動態解析

(1) 輸送対象が1方向に流れる場合

いまリンク1の輸送機関数を1、リンク2の輸送機関数をNとし、横並みあるいは斜めのためのサービス時間を t_c 、リンク1の残りの時間を t_s 、リンク2の残りの時間を t_t とすれば、 t_s 、 t_t が指數分布で t_c が直相応のアーラン分布の場合の定常状態における状態方程式は以下のように書くことができる。(図-1)

$$\left\{ \begin{array}{l} P_0^b = \frac{\lambda_0}{k\gamma} P_0^c \\ P_{s+1}^b = (1 + \frac{\lambda_0}{k\gamma}) P_s^b, (1 \leq s < k) \\ P_k^a = \frac{k\gamma + \lambda_0}{\mu} P_k^b \\ P_{k+s+1}^b = \frac{\mu + \lambda_1}{k\gamma} P_k^a - \frac{\lambda_0}{k\gamma} P_0^c \\ P_{n+k+s+1}^b = (1 + \frac{\lambda_n}{k\gamma}) P_{n+k+s}^b - \frac{\lambda_{n-1}}{k\gamma} P_{(n-1)+k+s}^b, (n=1, \dots, N; 1 \leq s < k) \\ P_{(n+1)+k}^a = \frac{k\gamma + \lambda_n}{\mu} P_{(n+1)+k}^b - \frac{\lambda_{n-1}}{\mu} P_{n+k}^b, (n=1, \dots, N-1) \\ P_{n+k+1}^b = \frac{\mu + \lambda_n}{k\gamma} P_{n+k}^a - \frac{\lambda_{n-1}}{k\gamma} P_{(n-1)+k}^b, (n=2, 3, \dots, N) \\ P_{(N+1)+k}^b = \frac{\lambda_{N-1}}{k\gamma + \lambda_N} P_{N+k}^b \end{array} \right.$$

確率条件: $\sum_{i=1}^N P_i^a + \sum_{j=1}^N P_j^b = 1$, ただし, $\lambda = \frac{1}{t_c}$, $\mu = \frac{1}{t_t}$, $\gamma = \frac{1}{t_c}$, $P = \frac{t_c}{t_c + t_s}$, $\lambda_m = \lambda(N-m)$; ($m=1, 2, \dots, N$)

ここに, P_0^c : リンク1の輸送機関が遊休する確率, P_{n+k}^a : リンク2の輸送機関が車台到着しており、リンク1の輸送機関は t_c stage にいる確率, P_{n+k+s}^b : リンク2の輸送機関が車台到着しており、リンク1の輸送機関は t_s stage の s phase にいる確率である。神戸のコンテナふ頭においてクレーンとトラクターシャーシーの各時間分布を調査し、5%の有意水準で適合度検定をしたもののが表-1に示してある。これをもととし、 t_c , t_s , t_t を指數分布と仮定した場合の理論解(I), t_c のみをアーラン分布と仮定した場合の理論解(II)およびすべてをアーラン分布とした場合のシミュレーション解(III)を示すと図-2,

図-1. 1方向流れのモデル

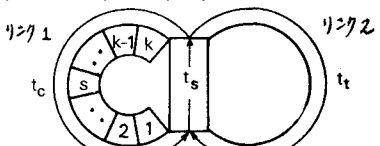


表-1. 輸送機関の時間分布(1方向)

輸送機関名	項目	要素	平均値(秒)	アーラン次数(k)
クレーン	t_c		87	14
	t_s		13	3
トラクターシャーシー	t_t		401	37

図-3 のとおりである。 $(\gamma^* = \frac{f}{\mu} = 0.15)$

(2)輸送対象が2方向に流れる場合

この場合は、有限母集団のサイクル、キューラー簡単な場合に相当する。リンク1の1およびリンク2のサービス時間の平均遊休値をそれぞれ $\frac{1}{\mu_1}$, $\frac{1}{\mu_2}$ とすれば、リンク率 P_{k_1} が位相1のアーラン分布、リンク2(P_k)が指数分布のケースは次のように書くことができる。(図-4)

$$P_k = \frac{N \mu_2}{k_1 \mu_1} P_0$$

$$P_{k+1} = \left(1 + \frac{(N-1)\mu_2}{k_1 \mu_1}\right) P_k, (1 \leq k < k_1)$$

$$P_{nk_1+1} = \left(1 + \frac{(N-n)\mu_2}{k_1 \mu_1}\right) P_{nk_1}$$

$$- \frac{(N-n+1)\mu_2}{k_1 \mu_1} P_{(n-1)k_1}, (n=1, \dots, N-1)$$

$$P_{nk_1+s+1} = \left[1 + \frac{(N-n-s)\mu_2}{k_1 \mu_1}\right] P_{nk_1+s}$$

$$- \frac{(N-n-s)\mu_2}{k_1 \mu_1} P_{(n-s)k_1+s}, (n=1, \dots, N-1; s \leq k < k_1)$$

$$P_{Nk_1} = \frac{\mu_2}{k_1 \mu_1} P_{(N-1)k_1}$$

$$\text{確率条件: } \sum_{j=1}^{Nk_1} P_j = 1, \text{ また } f = \mu_2 / \mu_1$$

ここに、 P_0 : リンク1の輸送機関が遊休

する確率、 P_{nk_1+s} : リンク2の輸送機関が船待ち行列に入っている、他に1台はサービス中で s phase にいる確率である。前と同じく、神戸のコンテナ船頭で同一のクレーンとトラクターシャーシーの時間分布を調査し、5%の有意水準で適合度検定をして得られた結果が表-2に示してある。これをもとに、両者とも指數分布とした場合の理論解(A), リンク1のみをアーラン分布とした場合の理論解(B)および両者ともアーラン分布とした場合のシミュレーション解(C)を図-5, 図-6に示す。

3. 2リンク輸送系の評価

以上の動態解析結果をもとにし、コンテナ貨物輸送システムにおけるシャーシー方式コンテナ船頭の最適荷役システムへの設計を試算的に行なう。すなわち、コンテナ船が岸して荷役中のケースの率 P_k を決定しよう。まず、荷役中のコンテナ1個あたり費用 C_H (円/個)は、次式で表わされる。

図-2 1方向流れの場合のクレーン遊休率, P_0^c ($\gamma^* = 0.15$)

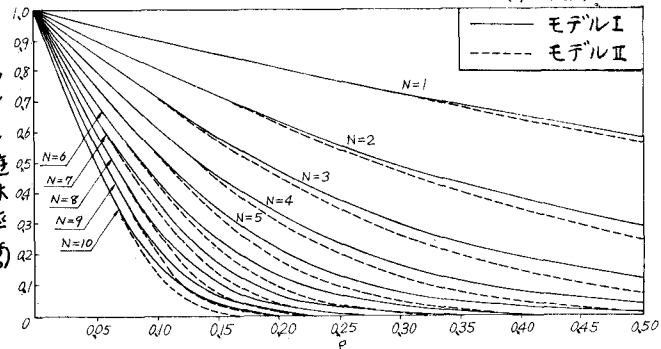


図-3 1方向流れの場合のクレーン遊休率, P_0^c ($\gamma^* = 0.15$)

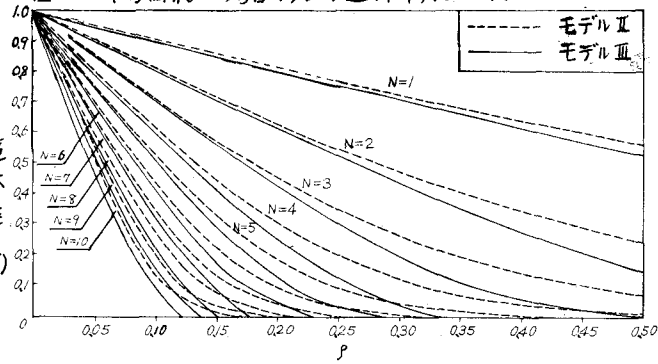


図-4 2方向流れのモデル

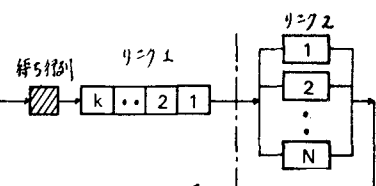
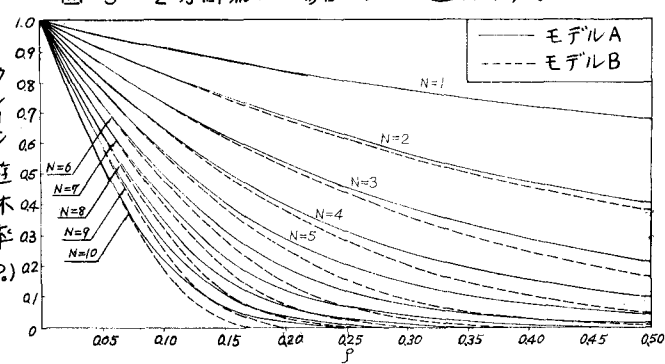


表-2 輸送機関の時間分布(2方向)

輸送機関名	項目		アーラン次数 (k)
	露度	平均値(秒)	
クレーン	$1/\mu_1$	171	66
トレーラミーティング	$1/\mu_2$	410	26

図-5 2方向流れの場合のクレーン遊休率, P_0



$$C_H = \frac{n_4(n_3 \cdot C_3 + C_4) + C_5 + C_B + C_Y}{n_4 \cdot m (1 - P_0)}$$

ここに, m : クレーン荷役能力(個/時間), P_0 : クレーン遊休率, n_3 : クレーン1基あたりのトラクターシャーシ使用台数(台), n_4 : 使用クレーン基数(基), C_3 : トランクターシャーシ関係費用(円/時間・台), C_4 : クレーン関係費用(円/時間・基), C_5 : コニテナ船関係費用(円/時間), C_B :

岸壁関係費用(円/時間), C_Y : ヤード関係費用(円/時間)である。表-3は、従来から稼動しているクレーンと現在改良を計画しているクレーンの荷役能力と時間あたりコストを算定したものである。表-4には、 C_3 と C_Y の時間あたり費用を記す。また、表-5には船舶関係費用および岸壁関係費用を示す。

図-7、図-8は、以上の費用をもとに上式から算出したコニテナ1個あたりの費用を、それぞれ1方向流れと2方向流れの場合について図示したものである。

4. 結果の考察

(1) $N=1$ の場合、2方向流れでは P_0 の各値に対して、いずれの解析方法でも P_0 の値が等しくなっている。しかし、1方向流れでは差異を生ずる。すなわち、前者は各要素時間の平均値のみによって一意的に決定され

分布形には影響されないが、後者はその両方により変化する。

(2) 1方向流れの場合、モデルⅠを基準にとるとモデルⅡがよりモデルⅢの P_0^c の値はそれぞれ0~5%, 0~14%小さい。また2方向流れの場合、モデルAを基準にとればモデルBがより C_4 の P_0 はそれぞれ0~5%, 0~12%小さい。これらは各要素時間の規則性によるもので、実際のオペレーションを反映していることは言うまでもない。

(3) これは各要素時間の平均値およびアーラン次数とも関係するが、上記諸条件設定のもとでは1方向流れではモデルⅡの P_0 はモデルⅢよりも少しⅠに近く、また2方向流れではモデルBはモデルAとの中间的な値を示している。前者の場合、モデルⅠでは γ をも指數分布と仮定していることから、モデルⅢとのかい離が累加したためと考えられる。

(4) P_0 の値は1方向流れの場合 $PN < 0.5$ および $PN > 2.0$ の範囲、2方向流れの場合には $PN < 0.7$, $PN > 2.0$

図-6 2方向流れの場合のクレーン遊休率, P_0

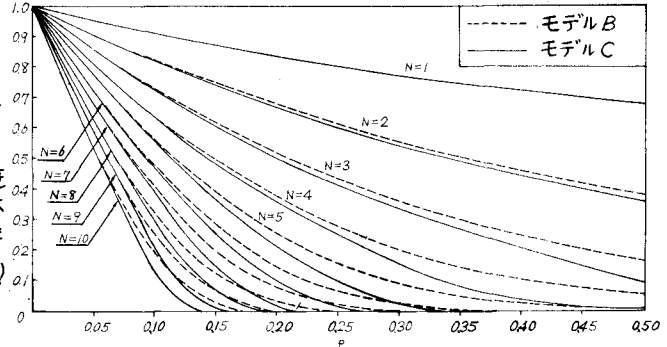


表-3 クレーンの能力と時間費用

項目	ケース	m (個/時間)	C_4 (円/時間)	摘要
従来のもの	1方向の場合	8.6	6,340	原価 240,000千円 基礎設計費 72,000千円 残存価格 1割 年利率 0.1
	2方向の場合	4.2		耐用年数 15年
計画中のもの	1方向の場合	4.5	7,470	他に運転手給与、維持修理費、燃料費、一般管理費を含む。 費用と能力は線形関係としている。
	2方向の場合	5.8		

表-4 トラクターシャーシとヤードの時間費用

項目	時間費用 (円/時間)	摘要
C_3	774	原価 5,500千円、残存価格1割、年利率0.1、耐用年数7年にて計算。 他に運転手給与、維持修理費、燃料費、一般管理費を含む。
C_Y	19,400	ふ頭用地(93,000㎡)の建設費1,088,157千円、年利率7%、ヤード舗装(85,200㎡)は建設費365,360千円、耐用年数10年、年利率7%、その他施設は建設費568,600千円、耐用年数45年、年利率7%にて計算。

表-5 船舶とバースの時間費用

船型	C_B (円/時間)	C_B (円/時間)	摘要
500個積	32,600	4,120	1. 船舶関係費用は減価償却、金利、乗員賃金、保険費、維持修繕費、食料費、店賃、船用品費からなるものとした。 船価は、 $y = 4.55x - 350$ という式から算出することに x (船価: 百万円), x (積載可能コンテナ数: 20') 耐用年数30年、残存率30%, 年利率7%。 金利は原価の7%とした。 乗員は船型に関係なく1船あたり35人とした。
1,000個積	71,000	4,660	2. C_B にはケーション岸壁費用と泊地入門せつ費用を含む($C_B = 1.034 \times \text{岸壁建設費}$)。 バースは船型500個積、1,000個積、2,000個積に対し水深10.5m, 11.2m, 12.6m, バース長は225m, 250m, 300mとし単価は214(万円/m), 218, 221とした。 耐用年数50年、年利率7%とした。
2,000個積	148,000	5,660	

の範囲で各モデル間の差異が比較的小さい。いずれの場合においても、前者はリニクスの輸送機関が一元的に待つケース、後者はリニクスの輸送機関が待つケースである。以上より、実際面への適用にあたっては各モデルの仮定、 P_N の値、適用対象の許容精度、トータルシステム中の位置づけ等に注意する必要がある。

(5)船型については、大型船より小型船の方が有利になっている。これは、船価、岸壁等のユニテナ上個あたりコストが大きくなるためである。

(6)限界費用の減少(限界効用の発生)は、シヤーシー台数が1台から2台の所で最大になり、以後は限界効用遞減の法則にしたがっていることが明らかである。費用曲線は凸形を示し極点を持つ。

(7)2方向流れの荷役方式では、シヤーシーを5台配備したシステムが常に費用極小となる。一方、1方向流れの場合には現行のクレーンには6台のシヤーシーを、また計画中のクレーンについては7台配備したシステムが費用極小となる。

(8)クレーン基数、船型を同一にした場合、現行クレーンから計画中のクレーンにとりかえることにより、1方向および2方向の場合いずれも最大約20%のコスト低減が可能となる。しかし、特に1方向の場合においては、投入するシヤーシー台数が1台から2台のケースで逆にコストが高くなっている場合がある。これは、クレーンの性能が向上しても荷役

能率があまり上がりず、クレーン改良に要する費用がこの段階では能率増加による荷役費用の個あたり節約を上回るためである。相対

(9)クレーンのコストタイプがよび船型が同一の場合、クレーン基数を1基から2基に増設することにより、約39%～48%のコスト低減が達成される。

参考文献
1)長尾, 別式: 多重リンク系の輸送動態に関する考察, 土木学会論文集(投稿中)

図-7. ジテナ1個あたりの相対的コスト(1方向の場合)

カッコ内は
(クレーン基数、クレーンタイプ、船型)

